
Computation of complete synthetic seismograms in spherically symmetric transversely isotropic media for shallow earthquakes

球対称 T I 媒質における浅い地震に対する理論波形計算手法

Kenji Kawai¹, Nozomu Takeuchi², Robert J. Geller¹

河合 研志・竹内 希・ゲラー ロバート

¹Graduate School of Science, University of Tokyo

²Earthquake Research Institute, University of Tokyo

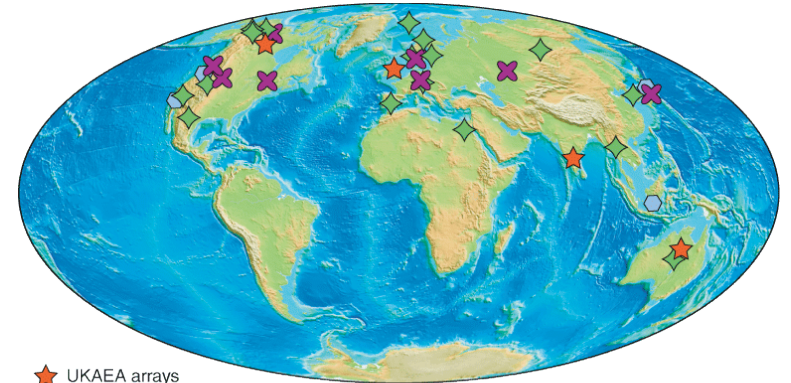
Why study shallow earthquakes?

- 近年のアレイ観測網の急激な整備
- 廉価なPCクラスタの登場

イベント数が多い浅い地震を用いた

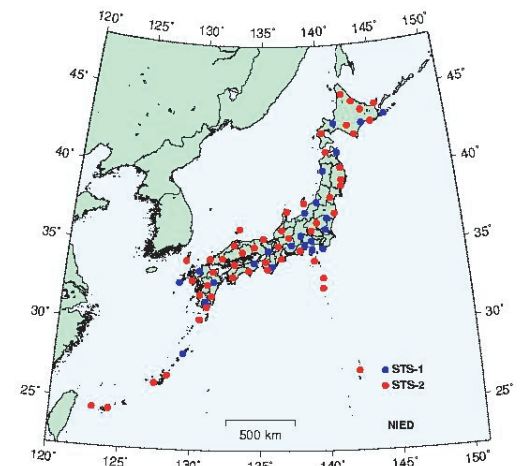
1. forward modeling
2. stacking

などの波形による構造推定の可能性を探る



- ★ UKAEA arrays
- ✕ Other arrays
- ◆ IMS arrays
- Regional Networks

既存のグローバルArray観測点網



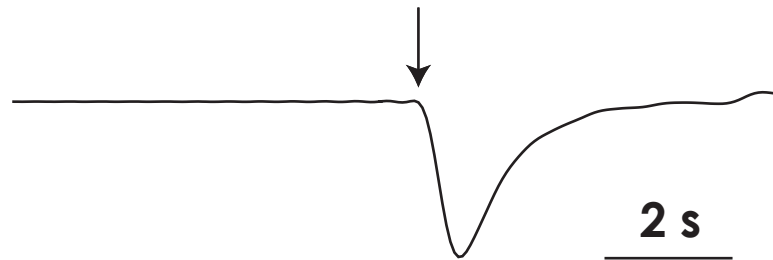
(F-net, NIED)

浅いイベントに対する効率の良い
高精度理論波形計算手法および
インバージョン手法開発の必要性

Background (Previous studies)

深発地震に対する理論波形

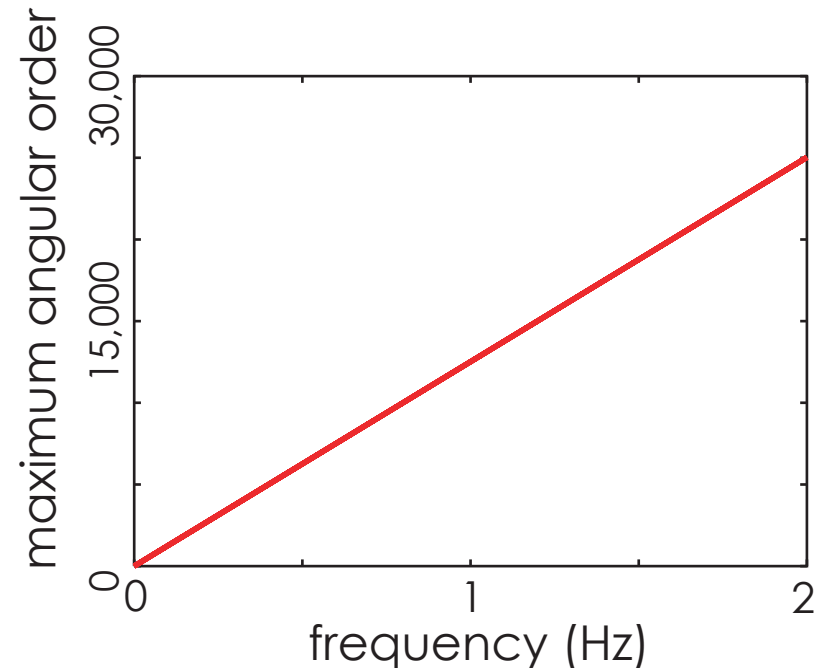
Sharp onset of P-wave
(2Hzまで anisotropic PREM)



(Kawai et al., GJI submitted)

2Hzまでの計算により
sharpな立ち上がりが見える
→完全な地動が表現される

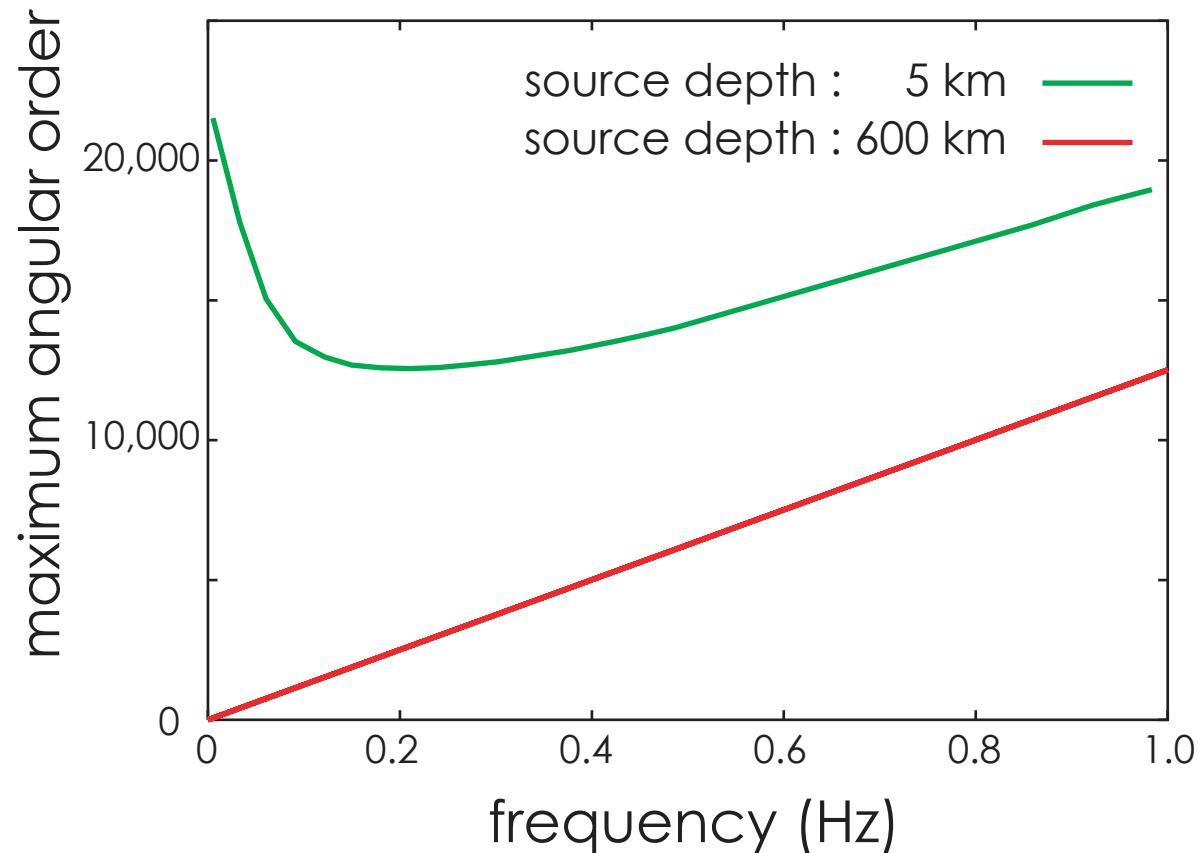
深発(600 km)の計算に
必要なangular order



周波数が大きいほど
大きなangular orderまでの
計算が必要

Maximum angular order required for accuracy

誤差0.1%で求めるために必要な angular order



浅い地震は、低周波でも大きなangular orderまでの計算が必要

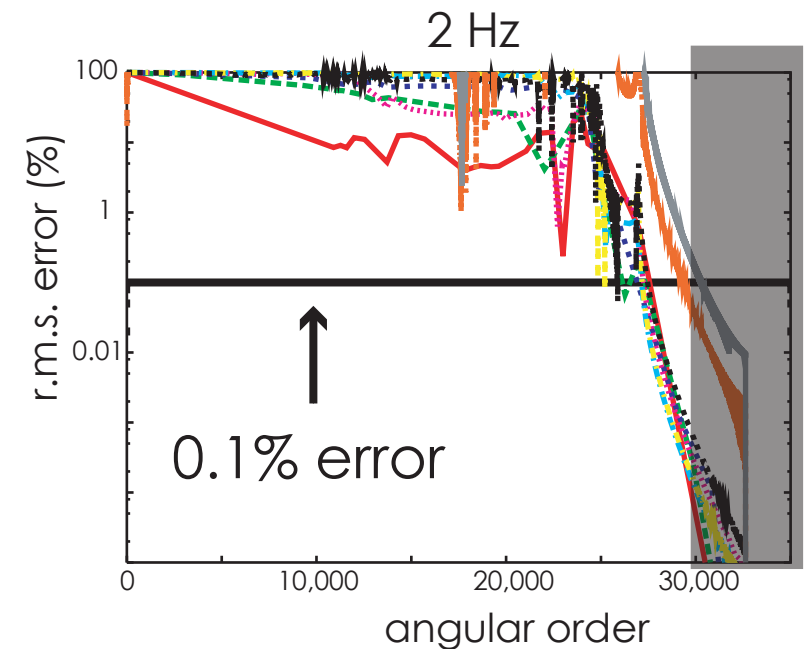
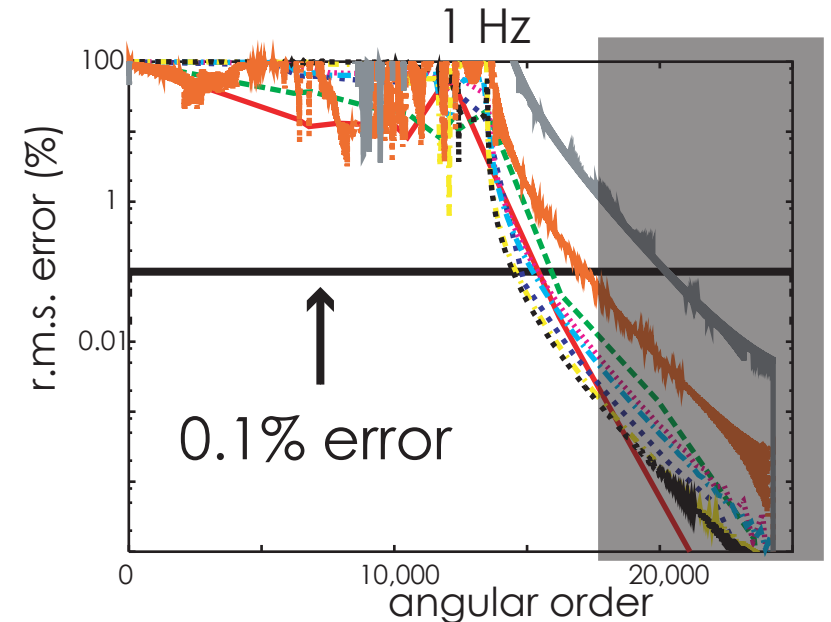
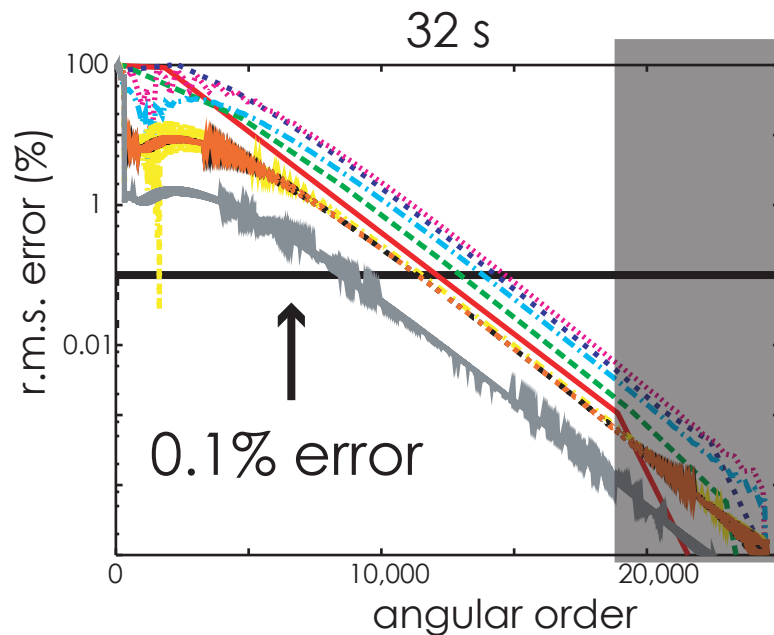
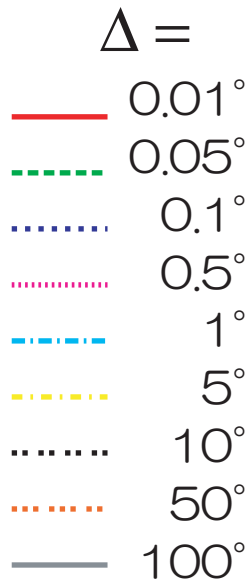
Contribution of evanescent wave component to error

変位の誤差の震央距離依存性

遠地であっても、
angular orderの打ち切りによって
十分に優位な誤差が生じる

(震源深さ5km)

→十分に効率の良い計算手法の必要性



Formal error estimates

$$\text{相対誤差} = \left| \frac{k_z^2 \Delta z^2}{12} \right|$$

(Geller & Takeuchi, 1995)

$$\frac{\omega^2}{c^2} = k_x^2 + k_z^2 = \left(\frac{l + \frac{1}{2}}{r} \right)^2 + k_z^2$$

k wave number ω angular frequency

Δz grid spacing c phase velocity

l angular order r radius

低周波の evanescent regime では
大きな angular order まで計算する必要がある

→ 基準を満たすように十分細かいグリッド間隔が必要

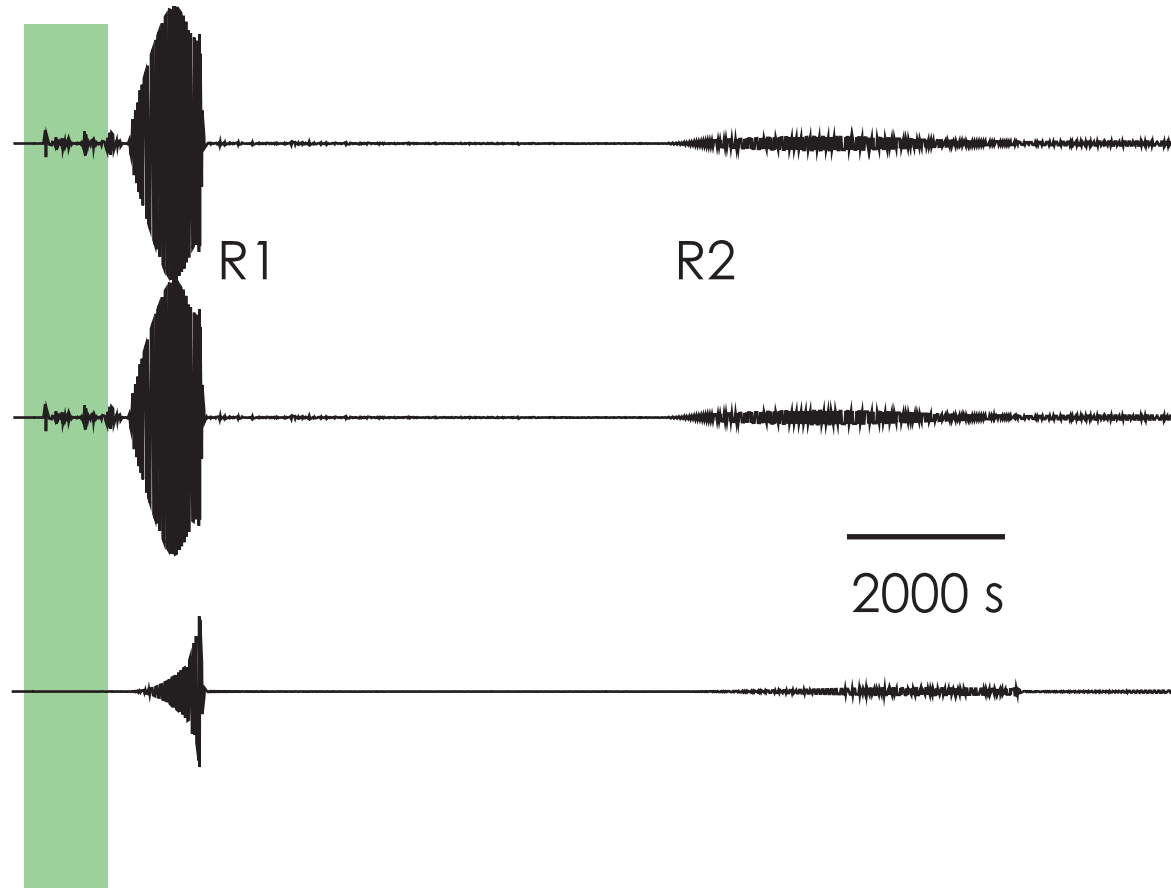
Error caused by truncation of angular order (1)

Vertical component ($\Delta = 60^\circ$)

"exact" ($l=20000$)

$l=5000$

Residual * 10

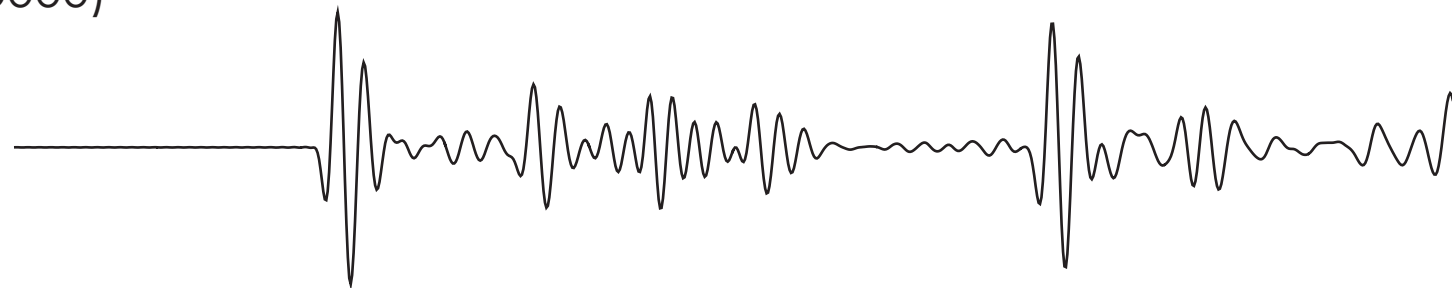


計算の打ち切りにより位相速度の遅い表面波の誤差が卓越する

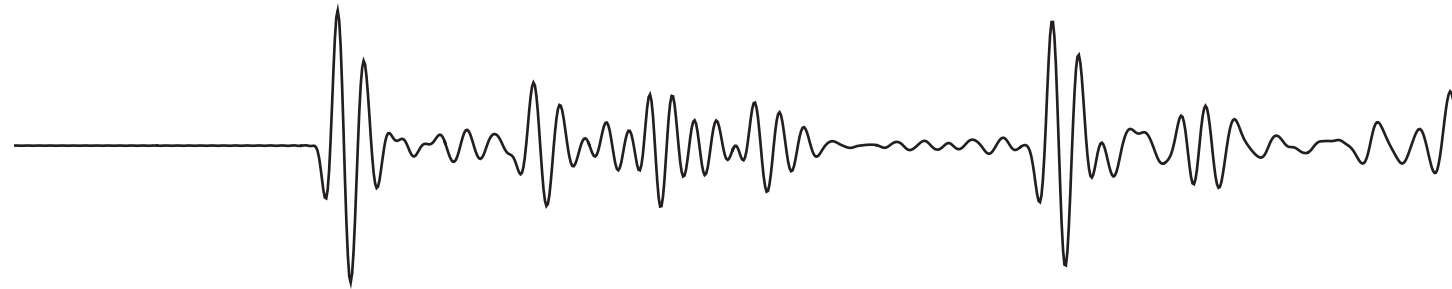
Error caused by truncation of angular order (2)

Vertical component ($\Delta = 60^\circ$)

"exact" ($l=20000$)



$l=5000$



200 s

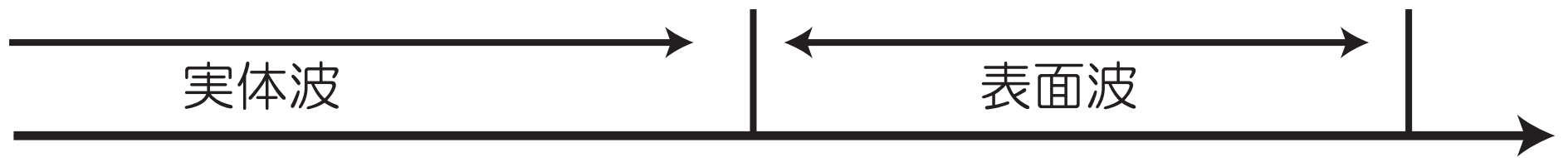
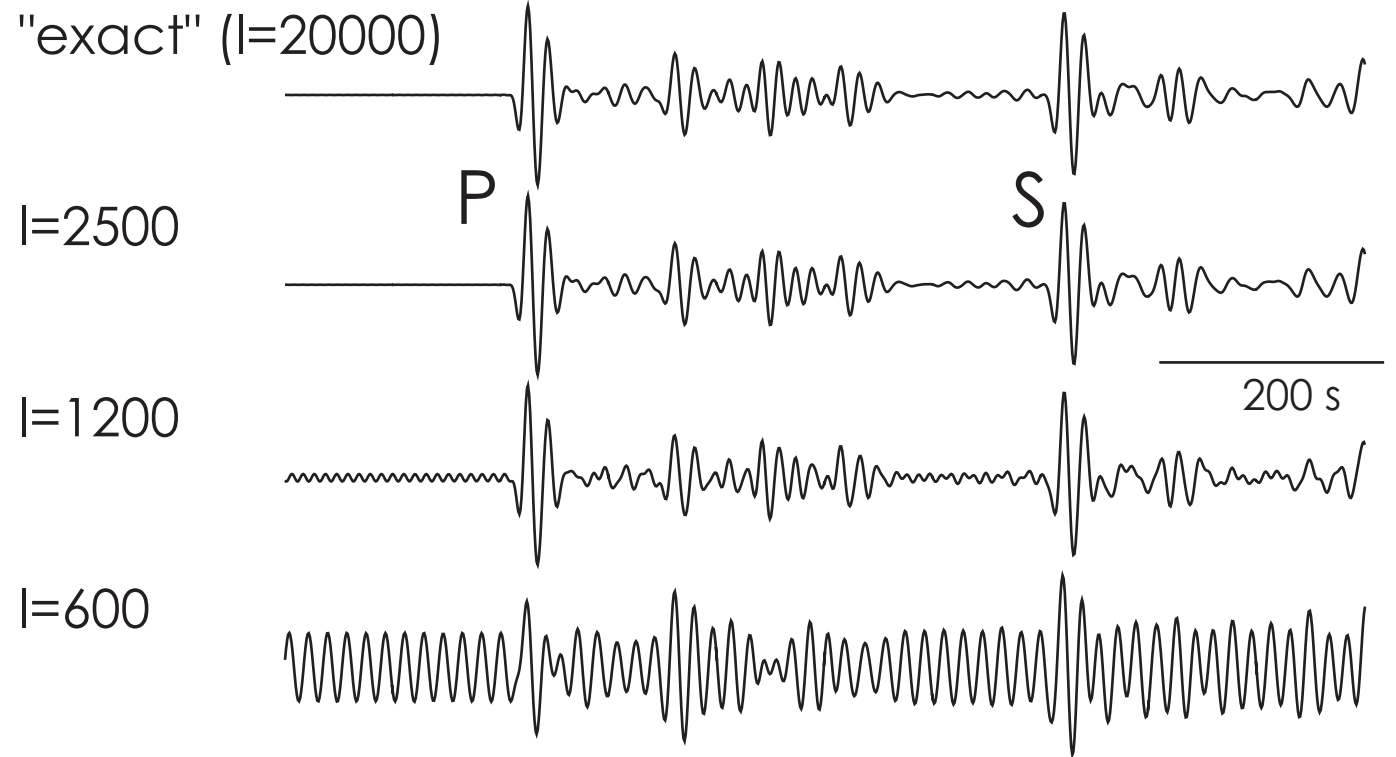
Residual



実体波の誤差は小さい

Error caused by truncation of angular order (3)

Vertical component
($\Delta = 60^\circ$)



600

1200

2500

20000

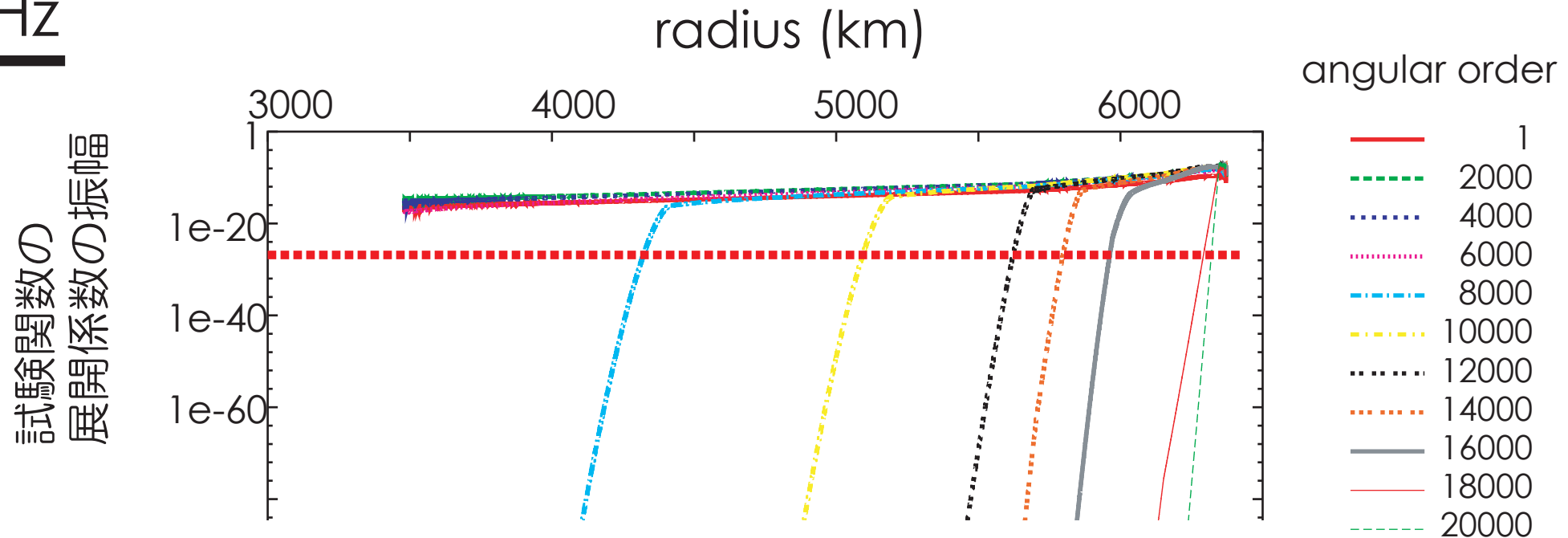
angular order

実体波の計算



Depth cutoff for higher angular orders

2 Hz



大きなangular orderの解は、深いところに感度を持たない

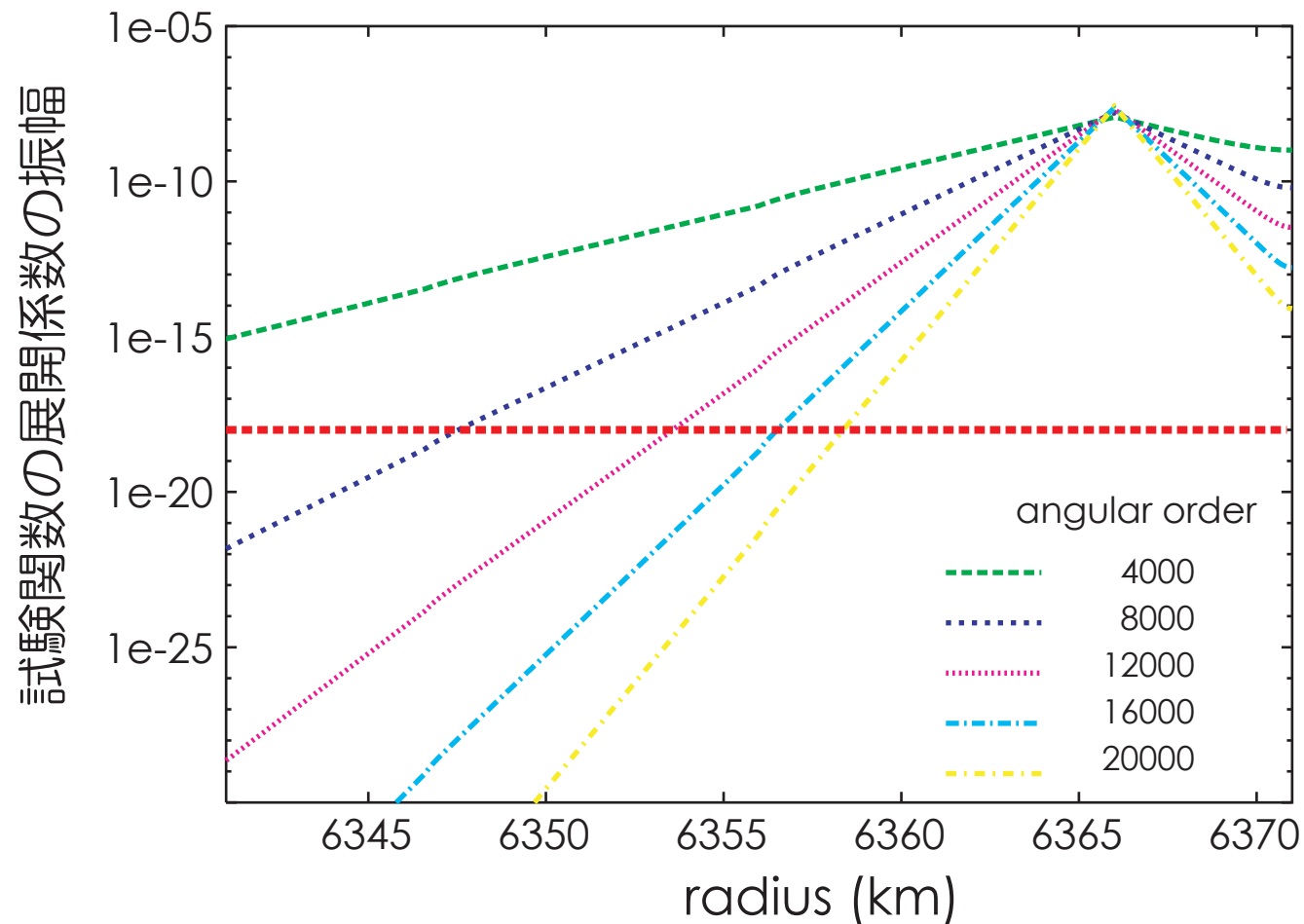
計算するグリッドを打ち切ることにより、CPU時間を大幅に短縮する

最大振幅の $1/10^{10}$ になるところで打ち切ることによれば、有効数字7桁を保ちつつ計算量を減らすことが可能

Depth dependence of evanescent waves (shallow event)

[$r_0 = 5$ km]

100s



evanescent waveは指数関数的に減衰する
→震源の直下までしか感度を持たない

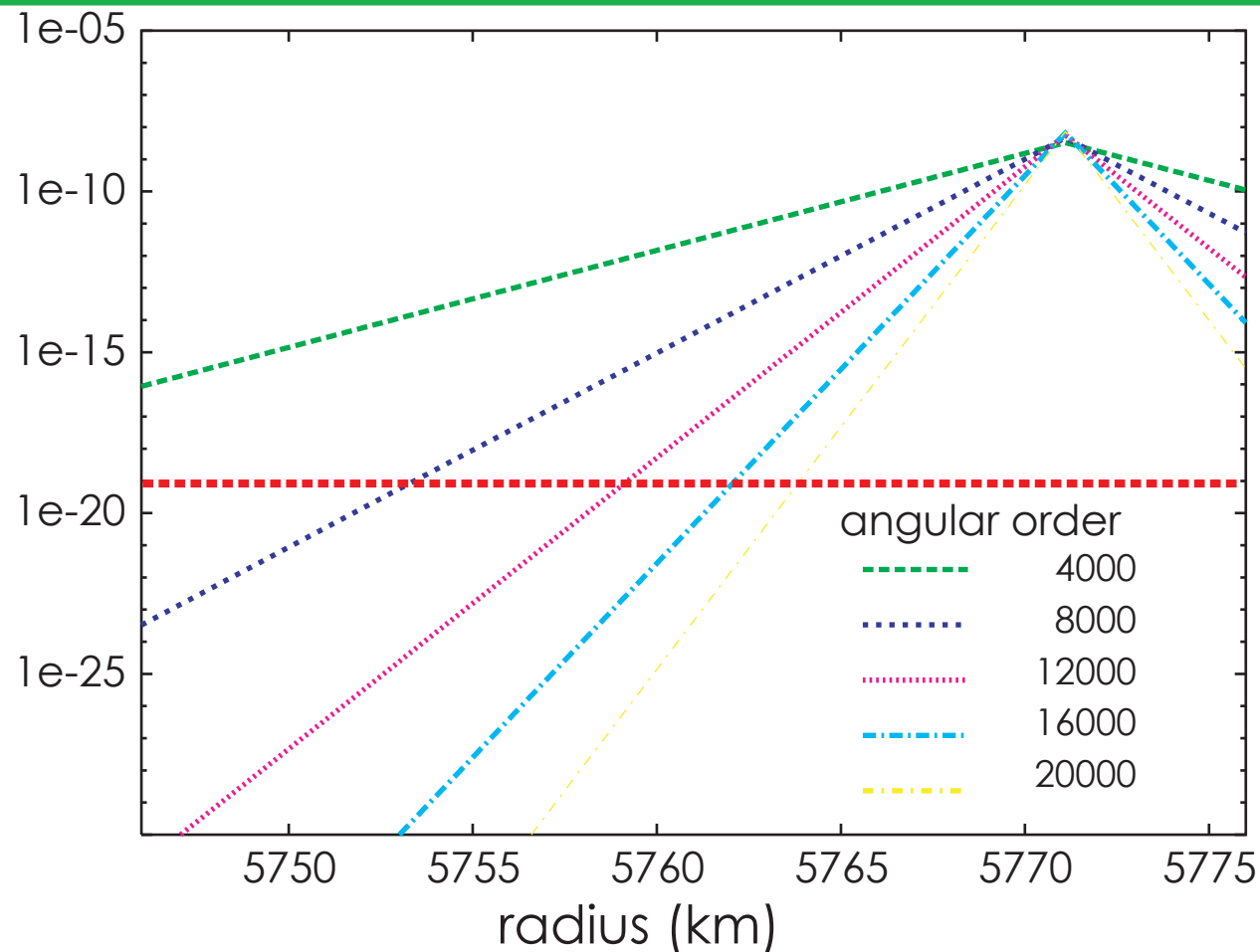
計算領域を震源の直下で打ち切ることができ、計算時間の大幅な短縮

Depth dependence of evanescent waves (deep event)

[$r_0 = 600 \text{ km}$]

100s

試験関数の展開係数の振幅



震源深さ600 kmの場合でもevanescent waveは励起される

深発地震を用いた波形解析の場合でも、evanescent waveを考慮する必要性

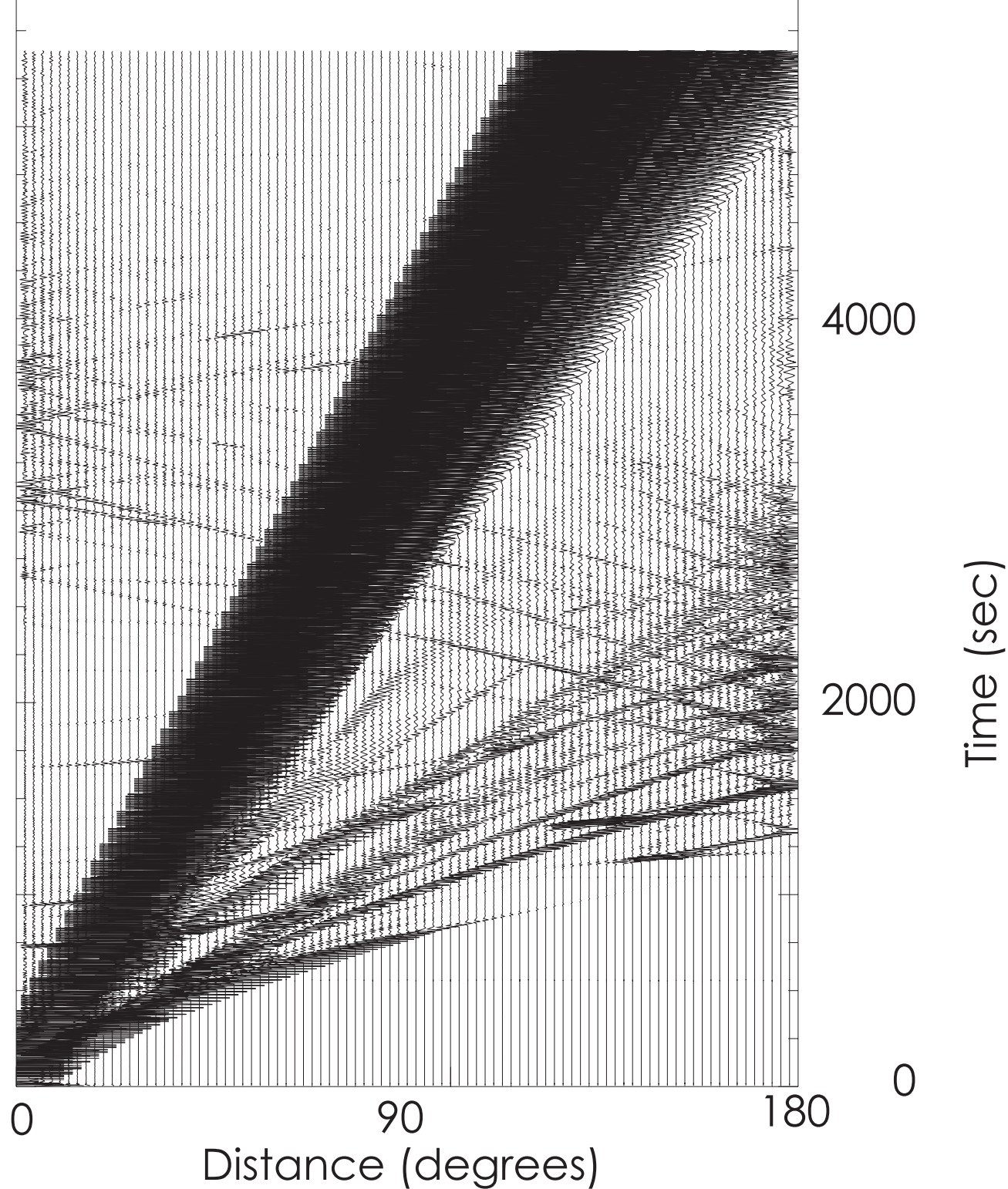
Record Section (Vertical)

2 s まで計算

source depth : 5 km

構造 :
PREM including attenuation

2 weeks using 8CPU



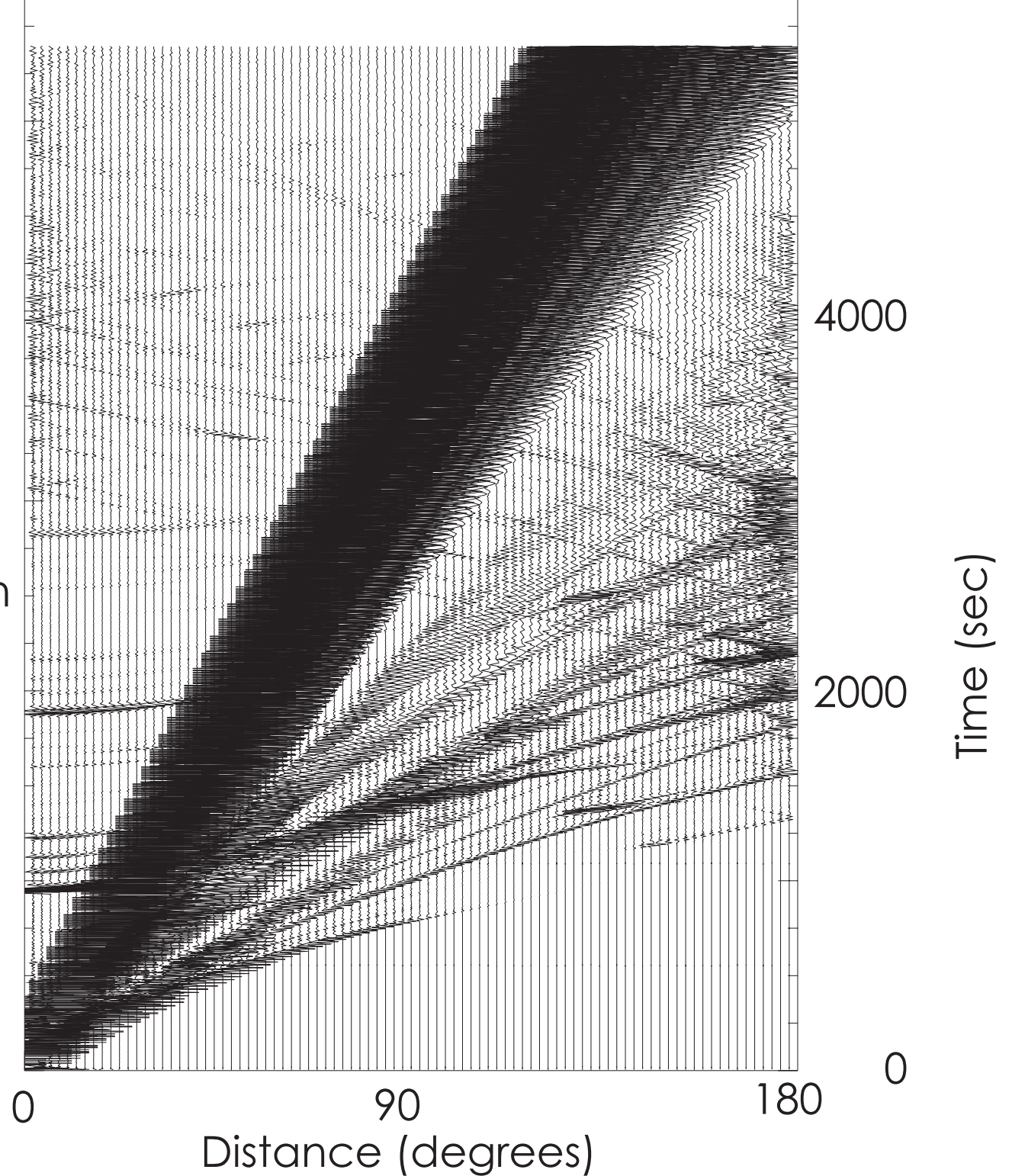
Record Section (Radial)

2 s まで計算

source depth : 5 km

構造 :
PREM including attenuation

2 weeks using 8CPU



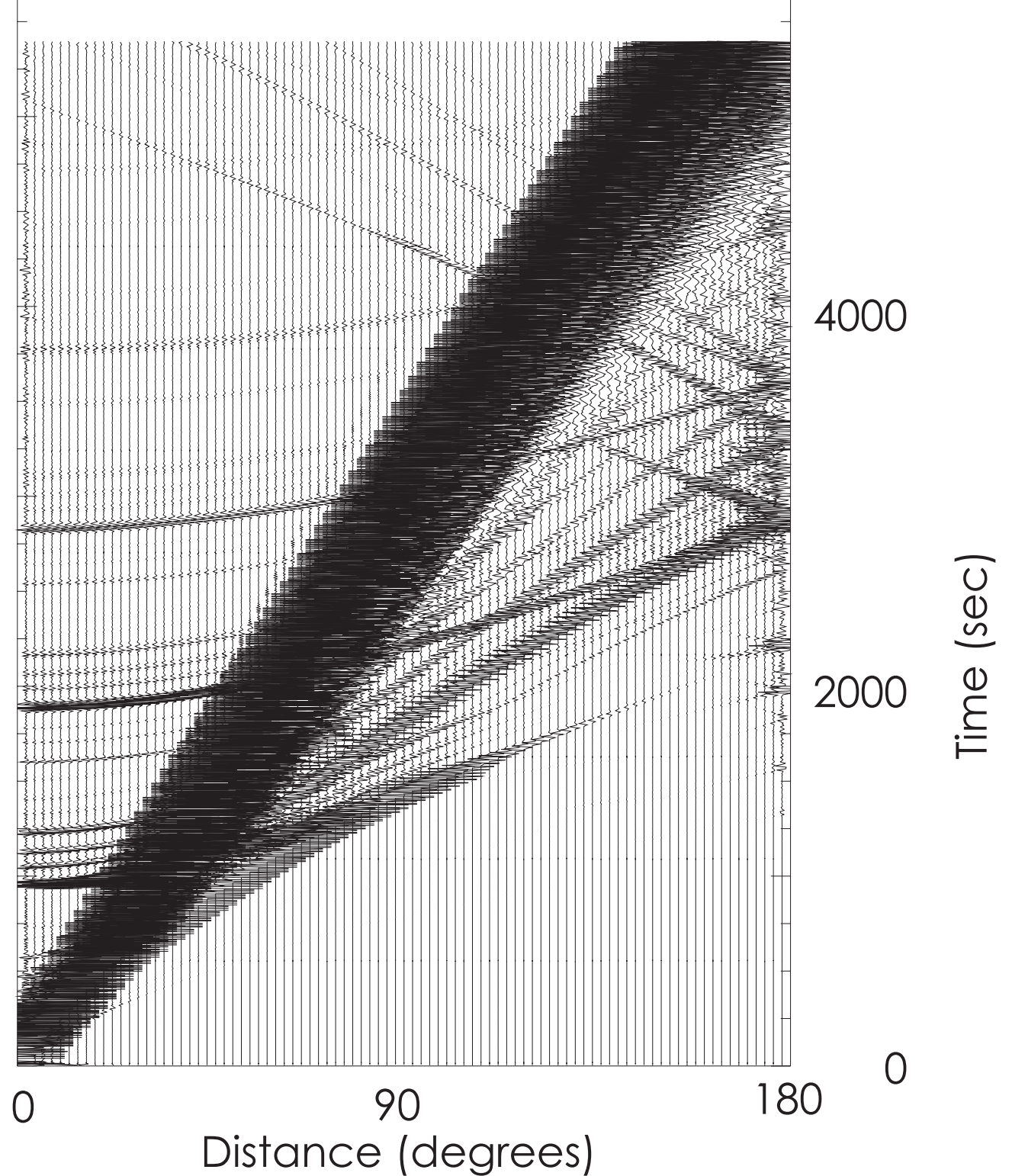
Record Section (Transverse)

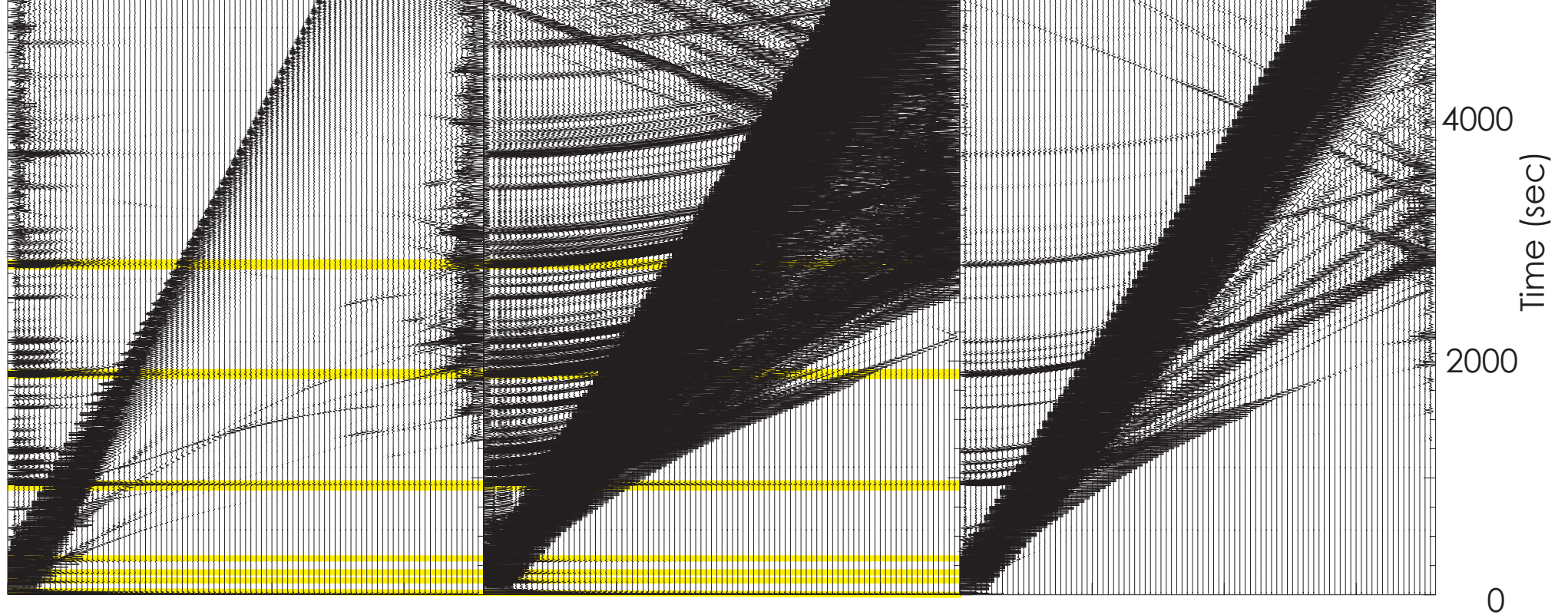
2 s まで計算

source depth : 5 km

構造 :
PREM including attenuation

2 weeks using 8CPU

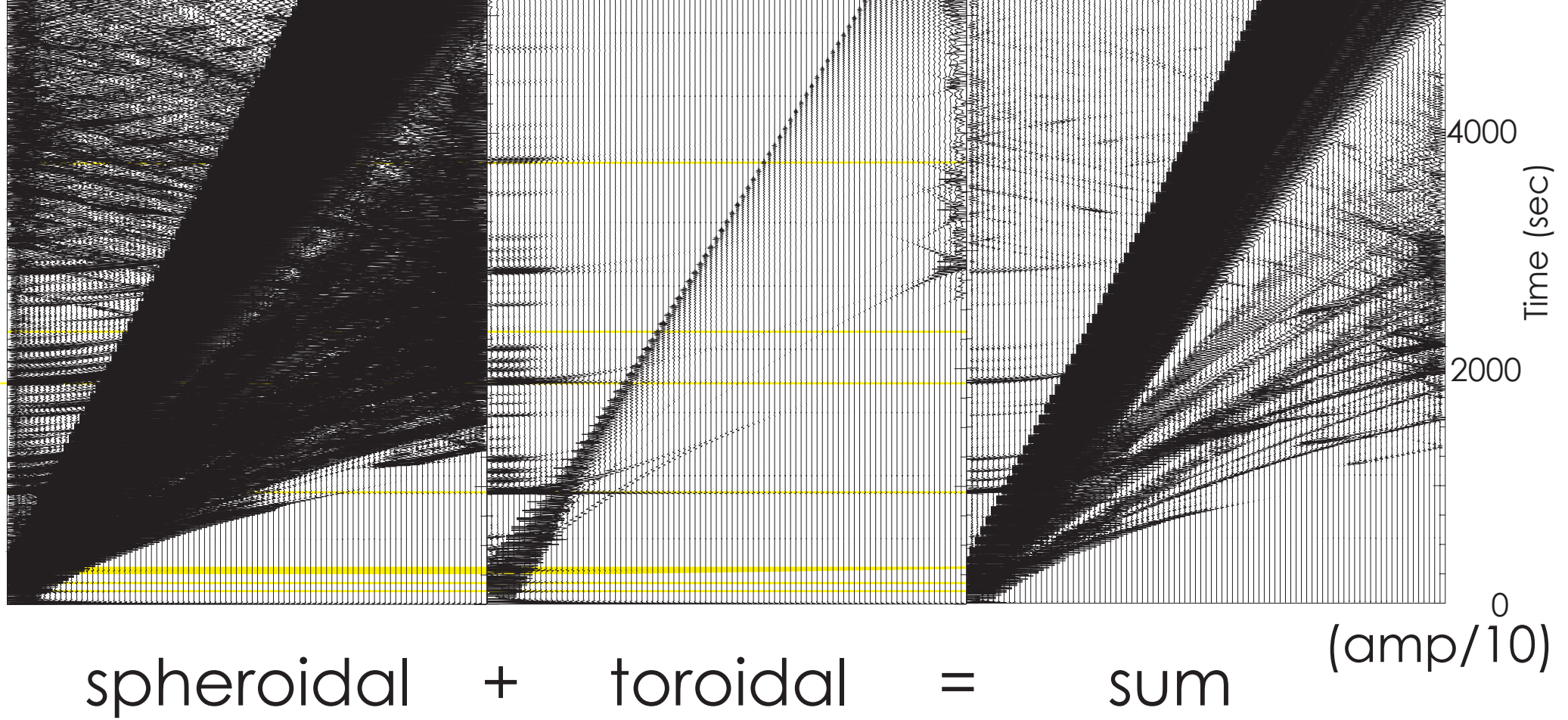




spheroidal + toroidal = sum (amp/10)

両者を足さないで1%程度の誤差が生じる
特に、フェーズが重なる場合深刻な誤差を招く

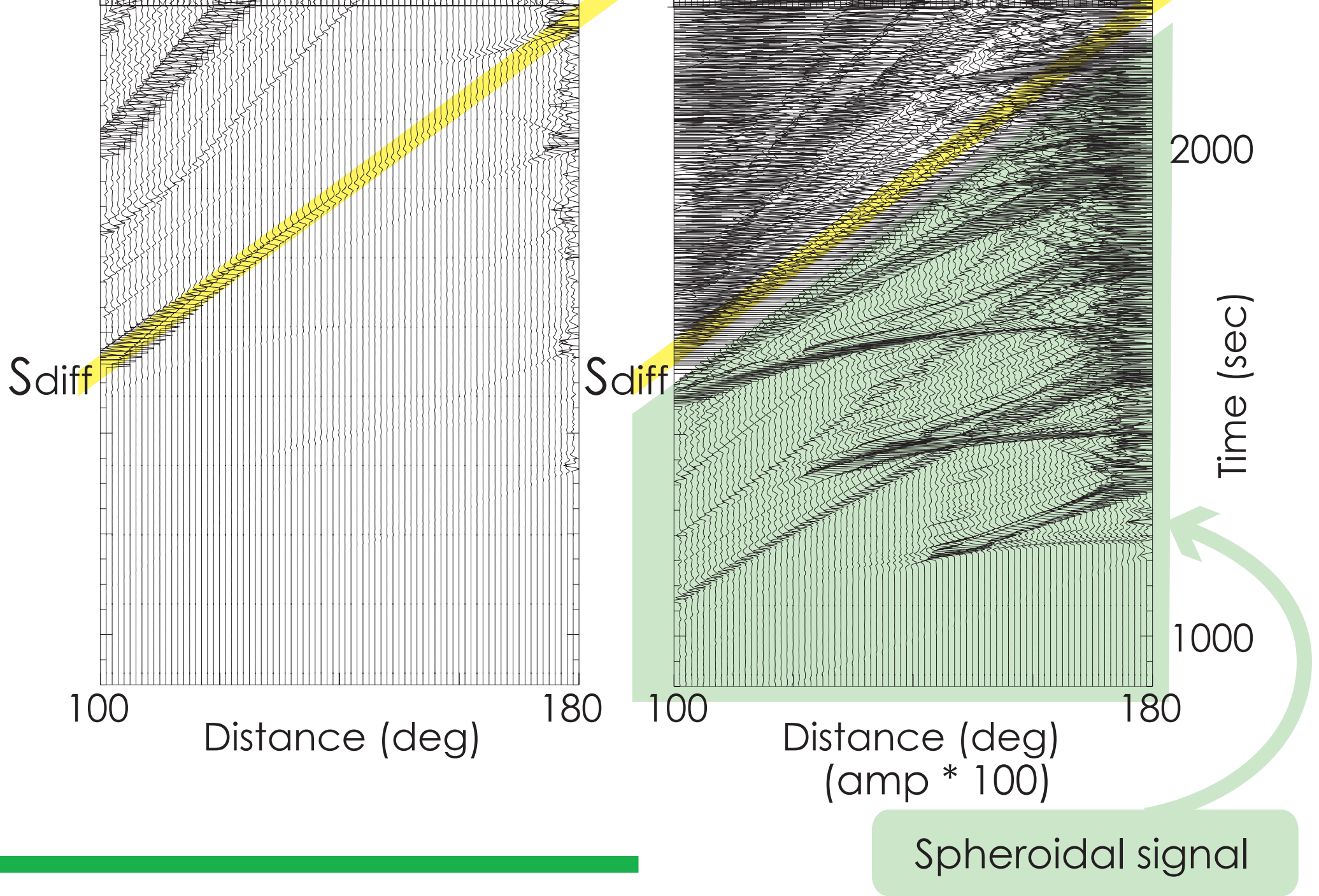
Non-physical wave (Transverse) █ Non-physical wave



両者を足さないで1%程度の誤差が生じる
特に、フェーズが重なる場合深刻な誤差を招く

Non-physical wave (Radial)

Non-physical wave



Spheroidal signal in transverse component

Core phase

